



Seismische Registrierungen der Erdbebenwarte in Eger

vom 1. Januar 1913 bis 30. April 1914.

Von Georg Irgang.

**Die Kosten der Einrichtung und des Betriebes der Station
werden von der Stadtgemeinde Eger und der kaiserlichen
Akademie der Wissenschaften in Wien getragen.**

Lage der Station: Seehöhe 430 m,

$\varphi = 50^{\circ} 4' 46''$, $\lambda = 22^{\circ} 22' 34''$ E. Gr.

Die im folgenden in Verwendung genommenen Zeichen sind nach
der Göttinger Anordnung und Bezeichnungsweise gewählt:

1. Phasen eines Erdbebens:

P = erster Vorläufer,
S = zweiter Vorläufer,
L = lange Wellen (Hauptphase),
M = größte Bewegung der Hauptphase,
C = Nachläufer,
F = Erlöschen der Bewegung.

2. Art der Bewegung:

i = Einsatz,
e = Auftauchen,
N = Komponente Nord-Süd,
E = Komponente Ost-West.

Die Amplitude der Bewegung bedeutet die Entfernung eines Umkehrpunktes vom nächsten gemessen in $\mu = 0.001$ mm. Die Periode bedeutet die Dauer eines Hin- und Herganges, gemessen in Sekunden. Die Zeiten sind in mittlerer Greenwicher Zeit, gezählt von Mitternacht bis Mitternacht, angegeben.

Sämtliche Angaben beziehen sich, wenn in der Anmerkungs-
rubrik darüber nichts gesagt ist, auf die Aufzeichnungen der beiden
Horizontalkomponenten eines mit photographischer Registrierung ver-
sehenen Horizontalpendelpaares. Die Eigenperiode der beiden Pendel
beträgt 20 Sekunden. Die Dämpfung der Nord-Südkomponente be-
trägt 7 und die Ost-Westkomponente ist aperiodisch gedämpft. Die
Vergrößerung ist 110fach. Die Genauigkeit der Zeitangaben ist mit
 ± 2 Sekunden anzunehmen.

Außer den in einem früheren Berichte*) angeführten Instrumenten
steht seit Mitte Feber 1914 auch ein bifilares Kegelpendel nach Dr.
C. Mainka von der Firma J. & A. Bosch in Straßburg i. E. mit einer
Masse von 456 kg als Nordsüdkomponente in Verwendung. Die hiezu
erforderlichen Mittel wurden von der kaiserlichen Akademie der Wissen-
schaften in Wien gewährt, wofür an dieser Stelle der geziemende Dank
ausgesprochen sei. Ferner hat die Stadtgemeinde Eger bereitwilligst
die zur Aufstellung des neuen Instrumentes notwendigen Fundierungs-
und Adaptierungsarbeiten in dankenswerter Weise durchgeführt. Das
Fundament für das bifilare Kegelpendel ist ein in den Boden einge-
lassener isolierter Eisenbetonwürfel mit 1 m 50 cm Seitenlänge.

Das bifilare Kegelpendel hat sich als besonders geeignet erwiesen
für die Registrierung von schwächeren lokalen Erschütterungen und
von Nahbeben. Die beigelegte Tafel gibt zwei Beispiele von Dia-
grammen dieses Instrumentes und eines Diagrammes der Nord-Süd-
komponente der photographisch registrierenden Horizontaldpendel wieder.

Erklärungen zur Tafel.

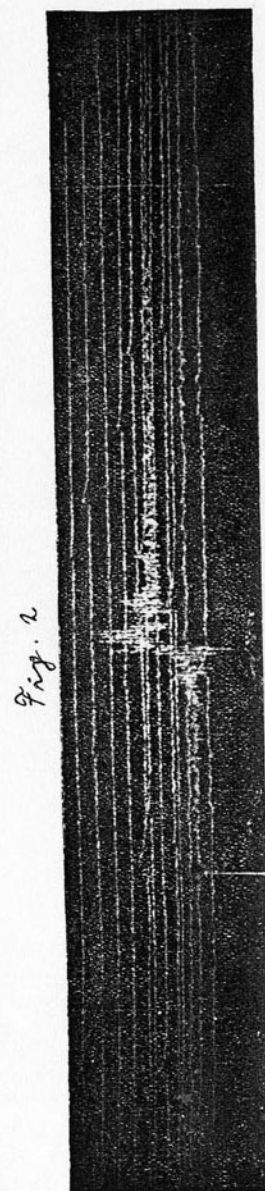
Fig. 1: Fernbeben am 30. März 1914. Diagramm der N—S Komponente des
Horizontaldpendels mit photographischer Registrierung. Periode 20", Dämpfung 1 : 7,
Vergrößerung 110fach. 1.75fache Verkleinerung des Originals. Zeitkorrektur: —
11 Sekunden.

Fig 2: Erdbeben in den kleinen Karpathen am 18. April 1914. Diagramm des
Mainka-Pendels. Komponente N—S. Konstanten siehe Registrierungen. 2.17fache
Vergrößerung des Originals. Zeitkorrektur: + 7 Sekunden.

Fig. 3: Erdstoß am 21. April 1914. Gespürt in Asch und Umgebung. Diagramm
des Mainka-Pendels. Komponente N—S. Konstanten siehe bei den Registrierungen.
4fache Vergrößerung des Originals. Zeitkorrektur: + 7 Sekunden.

*) Jahresbericht der k. k. Staats-Oberrealschule in Eger 1911/12.

ERDBEBENWARTE EGER.



Jahr 1913

Datum	Komponente	Phase	Mittl. Greenw. Zeit			Periode s	Amplitude μ	Bemerkungen
			h	m	s			
Januar								
2.	N	e	0	59				
		F	1	8				
3.	N	e	1	6				
		F	1	14				
5.	N	e	4	40				
		M	4	44		8	10	
		F	5					
5.	N	e	17	44				
		eL	18	6				
		M	18	8		15	60	
		F	19	10				
7.	N	eL	23	9				
		F	23	22				
7./8.	N	e						Fällt in das vorausgehende Diagramm.
		eL	23	35				
		M	23	40		15	20	
		F	0	40				
8.	N	eL	20					
		F	20	35				
9.	N	e	3	18				
		eL	3	37				
		M	3	45		15	23	Fällt in das nächste Diagramm.
		F						
9.	N	e	4	50				
		M	4	55		15	10	
		F	5	20				
9.	N	e	11	55				9., 10., 11. und 12. Januar starke Bodenunruhe.
		F	12	11				
11.	N	eP						Infolge starker Bodenunruhe nicht zu erkennen.
		eS	13	41	29			
		eL	14	7				
		M	14	23		16	50	
		F	16	10				
15.	N	e	19	14				Vom 15. bis 18. Januar stärkere Bodenunruhe.
		eL	19	30				
		F	20	20				
19.	N	eP	17	17	18			Epizentraldistanz 9000 km.
		iS	17	27	31		23	
		eL	17	38				
		M ₁	17	40			30	
		M ₂	17	57		19	30	
		F	20	20				
19./20.	N	eP	23	59	39			Epizentraldistanz 9000 km.
		eS	0	9	23			
		eL	0	25				
		M	0	33		18	25	
		F	1	45				
20.	N	e	16	10				
		F	17					
20./21.	N	e	22	15				(Mehrere ineinander übergehende Diagramme.
		F	0	20				
23.	N	e	8	39				
		F	8	55				

— 32 —

Jahr 1913						
Datum	Komponente	Phase	Mittl. Greenw. Zeit			Bemerkungen
			h	m	s	
Januar						
23.	N	eL	15	5		
23.	N	F	15	50		
23.	N	F	21	36		
24.	N	F	21	40		
24.	N	F	2	35		
24.	N	F	2	42		
24.	N	F	2	45		
27.	N	F	2	50		
27.	N	eP	19	43	58	Epizentraldistanz 2800 km.
		eS	19	48	25	
		eL	19	53		
		M	19	54		
		F	20	30		
31.		N	19	14		
31.J.1.F.	N	F	19	30		
Feber						
7.	N	F	23	20		
		eL	0	10		
		eL	3	30		
		M	3	49		
		F	3	55		
12.	N	F	4	45		
14.	N	F	0	9		
14.	N	F	1	10		
14.	N	F	19	50		
15.	N	F	20	30		
15.	N	F	19	25		
15.	N	F	20	40		
15.	N	F	21	40		
18.	N	F	22	30		
20.	N	F	1	50		
20.	N	eP	9	11	2	Epizentraldistanz 8900 km.
		eS	9	20	54	
		eL	9	37		
		M	9	48		
23.	N	F	11	10		
		eL	3	19		
		M	3	35		
		F	3	46		
24.	N	F	4	35		
24.	N	F	11	58		
25.	N	F	12	5		
25.	N	F	18	52		
27.	N	F	19	6		
27.	N	F	16	36		
27.	N	F	17	40		
März						
1.	N	M	15	5		
1.	N	F	15	18		
3.	N	F	15	50		
3.	N	F	0	10		
3.	N	F	1			

— 33 —

Jahr 1913						
Datum	Komponente	Phase	Mittl. Greenw. Zeit			Bemerkungen
			h	m	s	
März						
3.	N	e	3	27		
3.	N	M	3	53		
3.	N	F	4	30		
3.	N	F	20	25		
4.	N	F	21	30		
4.	N	F	12	7		4. und 5. März starke Boden-
4.	N	F	12	20		unruhe.
6.	N	F	2	29		
6.	N	M	2	41		
6.	N	F	3	10		
6.	N	eL	11	25	8	
6.	N	M	11	32		
6.	N	F	11	36		
8.	N	F	12	45		
8.	N	eL	16	17		
8.	N	M	16	30		
8.	N	F	16	29		
10.	N	F	17	40		
10.	N	e	15	10		
10.	N	M	15	16		
10.	N	F	15	24		
10.	N	eL	19	39		
12.	N	M	19	41		
12.	N	F	19	43		
12.	N	eL	22	31		
12.	N	M	22	43		
14.	N	F	23			
14.	N	eP	8	58		Epizentraldistanz 11200 km
		eS	9	9	50	
		i	9	18	40	
		eL	9	22		
		M	9	42		
15.	N	F	13			
15.	N	e	2	20		
15.	N	F	2	40		
18.	N	e	1	22		15., 16., 17. stärkere Boden-
18.	N	e(L)	1	45		unruhe.
18.	N	M	2	3		
18.	N	F	3			
18.	N	e	3	10		
23.	N	F	4			
23.	N	eP	21	0	30	19.—21. März sehr st. Bodenunruhe
		i	21	4	22	Epizentraldistanz 9900 km
		eS	21	11	23	
		i	21	18	8	
		eL	21	30		
		M	21	40		
24.	N	F	23			
24.	N	e	10	45		
24.	N	M	10	58		
24.	N	F	11	30		

— 34 —

Jahr 1913						
Datum	Komponente	Phase	Mittl. Greenw. Zeit			Bemerkungen
			h	m	s	
März 24.	N	e	20	25		
		F	20	40		
25.	N	e	2	13		
		F	2	30		
26.	N	e(P)	22	1	35	Epizentraldistanz 5800 km
		eS	22	9		
		eL	22	29		
		M	22	40		
		F	23	10		
27.	N	e	3	19		Am 29 März erscheinen lange Wellen mit 60"—90" Periode und 1—3 μ Amplitude
		M	3	41		
		F	4	30		
31.	N	iP	3	53	16	Epizentraldistanz 8820 km
		eS	4	3	17	
		eL	4	18		
		M	4	32		
		F	8			
31.	N	e	18	10		
		F	19	10		
April 1.	N	e	0	15	26	
		eL	0	35		
		M	0	46		
		F	1	20		
3.	N	e	11	20		
		F	11	30		
4.	N	e	14	20		
		F	14	40		
7.	N	e	14	10	48	
		eL	14	34		
		M	14	39		
		F	16			
7.	N	e	17	30		
		F	18	10		
8.	N	e	2	44	8	
		eL	3	7		
		M	3	12		
		F	4			
9.	N	e	5	49		
		F	5	56		
9.	N	e	17	28		
		F	17	50		
9.	N	iP	18	11	41	Epizentraldistanz 7980 km
		eS	18	21	0	
		eL	18	40		
		M	18	55		
		F	20			
10./11.	N	e	23	57		
		F	0	45		
11.	N	e	10	13		
		M	10	18		
		F	10	40		

— 35 —

Jahr 1913						
Datum	Komponente	Phase	Mittl. Greenw. Zeit			Bemerkungen
			h	m	s	
April 13.	N	e	7	3	29	
		eL	7	21		
		M	7	34		
		F	9			
14.	N	e	8	11		
		M	8	36		
		F	9	30		
16./17.	E	e	23	53		
		M	0	0		
		F	0	10		
17.	N	e	13	17		
		M	13	6		
		F	13	55		
18.	N	e	13	38		
		eL	14	4		
		M	14	6		
		F	14	55		
18.	N	e	19	23		
		eL	19	53		
		M	19	56		
		F	22			
20.	E	e	3	19	14	Russisch-Armenien.
		i	3	23		
		eL	3	27		
		M	3	30		
		F	4			
20.	N	e	10	56		
		F	11	15		
20.	N	e	15	35		
		F	15	47		
22.	N	e	14	4		
		F	14	30		
24.	N	e	1	12		
		F	2	10		
24.	N	e	10	41		
		eL	11	5		
		M	11	8		
		F	11			
24.	N	e	12	40	22	fällt in das nächste Diagramm.
		i	13	8		
		eL	13	15		
		M	14	30		
		F	14			
24.	N	e	22	30		
		F	22	40		
24.	N	e	23	20		
		F	23	40		
25.	N	e	0	2		
		eL	0	30		
		M	0	40		
		F	0			
25.	N	e	1	42		
		eL	1	46		
		M	2	20		
		F	2			

} gehen ineinander über.

— 36 —

Jahr 1913						
Datum	Komponente	Phase	Mittl. Greenw. Zeit			Bemerkungen
			h	m	s	
April 25.	N	e	4	26	44	
		M	4	35		
		F	5	10		
25.	N	e	5	20		
		eL	5	30		
		M	5	35		
		F	6			
25.	N	eP	18	10	16	
		iS	18	20	54	
		eL	18	42		
		M ₁	18	51		
		M ₂	18	54		
		M ₃	19	2		
		M ₄	19	13		
		C				
		F	22	40		
25./26.	N	e	23	40		
		F	0	6		
26.	N	e	1	10		
		F				
26.	N	e	12	15		
		eL	13	20		
		M	13	25		
		F	14	10		
26.	N	eL	19	44		
		M	19	46		
		F	20	30		
27.	N	eL	14	6		
		F	14	40		
28.	E	e	4	6		
		eL	4	20		
		M	4	35		
		F	5	10		
28.	N	i	19	3	30	
		eL	19	32		
		M	19	34		
		F	20	50		
29.	N	i	3	33	23	
		eL	3	58		
		M	4	2		
		F	5	10		
29.	N	e	21	43		
		eL	22	3		
		M	22	13		
		F	22	40		
29./30.	N	iP	23	41	8	
		eS	23	51	44	
		eL	0	8		
		M	0	15		
		F	1	30		
30.	N	eP	11	45	38	
		eS	11	57	20	
		eL	12	14		
		M	12	28		
		F	14			

Epizentraldistanz 9560 km.

fällt in die Unterbrechung.

Epizentraldistanz 9510 km.

Epizentraldistanz 11000 km.

— 37 —

Jahr 1913						
Datum	Komponente	Phase	Mittl. Greenw. Zeit			Bemerkungen
			h	m	s	
April 30.	N	e	21	40		
		F	22	15		
Mai 1.	N	e	7	27		
		F	8	30		
1.	N	e	14	6		
		F	14	45		
1.	N	e	22	15		
		eL	22	34		
		F	23	30		
1.	N	e	23	23		
		F	0	20		
4.	N	e	10	1	36	
		eL	10	3	40	
		M	10	5		
		F	10	20		
4.	N	e	13	15		
		F	13	30		
4.	N	e	21	55		
		F	0	30		
5.	N	e	2	5		
		F	4			
5.	N	e	7	54		
		F	9	52		
5.	N	e	10	15		
		F	21	7		
5.	N	e	21	30		
		F	23	52		
6.	N	e	0	14		
		F	0	41		
6.	N	e	1	10		
		F	1	42		
6.	N	e	1	49		
		eL	2	14		
		M	2	26		
		F	3	40		
6.	N	e	6	58		
		F	7	58		
6.	N	e	12	5		
		F	12	35		
6.	N	e	15	49		
		M	15	52		
		F	16	50		
6.	N	e	21	32		
		F	21	45		
7.	N	e	0	5	39	
		eL	0	43		
		F	1	50		
7.	N	e	4	48		
		F	5	20		
7.	N	e	13	25		
		M	13	55		
		F	14	5		

Fällt in die Unterbrechung.

— 38 —

Jahr 1913							
Datum	Komponente	Phase	Mittl. Greenw. Zeit			Periode s	Amplitude μ
			h	m	s		
Mai 7.	N	eL	21	40		13	2
7.	N	F	22	20		15	1
7.	N	F	23	33			
8.	N	F	4	10		5	2
8.	N	F	4	35		16	1
8.	N	F	11	20		12	1
8.	N	F	11	40		18	2
8.	N	F	13	10		20	1
8.	N	F	13	20			
8.	N	F	17	22			
8.	N	F	17	32			
8.	N	F	18	25			
8.	N	F	18	40			
8.	N	iP	18	54	45	35	Epizentraldistanz 13500 km.
	N	iP	18	54	50		
	N	eS	19	8	10	12	
	N	eL	19	23		15	Kein ausgesprochenes Maximum.
	N	C	21	45		20	
9.	N	F	0	28		15	2
9.	N	F	1	10		16	4
9.	N	F	17	15		15	1
9.	N	F	17	45		17	4
9.	N	F	19	10		9	2
9.	N	F	19	22		12	1
9.	N	F	22	12		15	3
9.	N	F	22	45		12	2
10.	N	F	13	48		15	3
10.	N	F	13	55		12	2
11.	N	F	10	20		12	1
11.	N	F	10	25		15	3
16.	N	F	12	10		12	2
16.	N	F	12	37		30	30
16.	N	F	13	30		21	50
17.	N	F	8	35		18	
17.	N	F	9	30			
18.	N	eP	2	23	6		Epizentraldistanz 9470 km.
	N	i	2	27	22		
	N	eS	2	33	40		
	N	eL	2	52			
	N	M ₁	3	6		30	30
	N	M ₂	3	11		21	50
	N	C	5			18	
19.	N	iP	15	50	17		Epizentraldistanz 2460 km.
	N	eS	15	54	19		
	N	eL	15	56	40		
	N	M	16			17	10
	N	F	16	35			

— 39 —

Jahr 1913							
Datum	Komponente	Phase	Mittl. Greenw. Zeit			Periode s	Amplitude μ
			h	m	s		
Mai 20.	N	e	4	36			
	N	M	4	42		18	4
20.	N	F	5	10		20	2
20.	N	F	11	10			
21.	N	F	11	30			
21.	N	eL	14	20		22	3
21.	N	M	14	44			
21.	N	F	14	59		15	2
21.	N	F	15	25			
21.	N	F	21	20			
21.	N	F	21	28			
21.	N	F	21	40			
24/25.	E	eP	23	43	23		
	E	e	23	49	50		
	E	e	23	58	25		
	E	eL	0	15		24	8
	E	M	0	22		18	2
25.	N	F	2	10			
25.	N	F	11	20		14	4
27.	N	F	11	45		16	2
27.	N	F	14	50			
27.	N	F	15	9			
28.	N	F	15	30		14	12
28.	N	F	3	24			
28.	N	F	3	27			
28.	N	F	3	35			
29.	N	e	10	33	50	14	20
29.	N	eL	10	50			
29.	N	M	11	6			
29.	N	F	12				
29.	N	e	13	44	23		
29.	N	i	13	50			
29.	N	eL	14	15			
29.	N	M	14	22			
29.	N	F	15	20			
30.	N	eP	12	7	32	12	2
	N	eP	12	8		16	34
	N	iS	12	17	56		
	N	eS	12	17	56	16	37
	N	i	12	25	2		
	N	eL	12	44			
	N	eL	12	40		30	62
	N	M ₁	12	48		30	25
	N	M ₁	12	48		18	100
	N	M ₂	12	53		16	85
	N	M ₃	13	7		15	
	N	C	16				
	N	F	21	30	35		
	N	F	22	10			
31.	N	e	0	15			
Juni 1.	N	F	0	50			

Epizentraldistanz 9150 km. ?

— 40 —

Jahr 1913						
Datum	Komponente	Phase	Mittl. Greenw. Zeit			Bemerkungen
			h	m	s	
Juni 2.	N	e F	18	23		Starke unregelmäßige Störungen.
4.	E	e F	1	30		
4.	N	e F	10	17	28	
		e L	10	53		10. und 11. starke unregelmäßige Störungen (10 μ).
		M F	10	59		
		F	12	40		
8.	E	e F	2	9		10. und 11. starke unregelmäßige Störungen (10 μ).
11.	N	e F	6	45		
13.	N	e P	7	20		
		e S	3	10	30	Epizentraldistanz 9440 km.
		e L	3	20	10	
		M	3	42		
		F	3	51		fällt in das nächste Diagramm. Epizentraldistanz 1360 km.
		e L	4	50		
		F	4	57		
13.	N	e F	5	30		fällt in das nächste Diagramm. Epizentraldistanz 1360 km.
14.	N	e P	8	51	0	
		e S	9	1	32	
		e L	9	24		Orcowitza (Bulgarien).
		M	9	28		
		F	9	37	6	
14.	N	i P	9	39	30	fällt in das nächste Diagramm.
		e S	9	42	30	
		M	9	43		
	E	M C	9	43		fällt in das nächste Diagramm.
		F				
		e L	11	45		
		M	11	51		Epizentraldistanz 2070 km.
		F	12	18		
		e L	12	20		
14.	N	e M	12	22		Epizentraldistanz 2070 km.
		F	12	24		
		e P	12	24		
15.	N	e F	19	23		Epizentraldistanz 2070 km.
		F	19	28		
		e M	17	29		
18.	N	e F	17	29		Epizentraldistanz 2070 km.
		M	17	30		
		F	17	32		
19.	N	e F	0	20		Epizentraldistanz 2070 km.
		M	0	26		
		F	0	35		
19.	N	e M	17	25		Epizentraldistanz 2070 km.
		F	17	29		
		e F	17	35		
20.	N	e M	20	6		Epizentraldistanz 2070 km.
		F	20	8		
		F	20	12		

— 41 —

Jahr 1913						
Datum	Komponente	Phase	Mittl. Greenw. Zeit			Bemerkungen
			h	m	s	
Juni 22.	N	e P	14	2	14	Epizentraldistanz 8800 km.
		e S	14	12	15	
		e L	14	17		
		M ₁	14	24		Große lange Wellen.
		M ₂	14	33		
		M ₃	14	40	30	
		C	14	45	30	Die folgenden Phasen sind infolge undeutlicher Registrierung nicht zu erkennen
		F	17	30		
		e P	5	17	30	
26.	E	e P	5	17	10	(Reg. d. Conradpendels (Periode: 3·3, Dämpfung 3·5, Vergrößerung 50fach).
		e S	5	30		
		e L	22	25		
26.	N	e F	22	25		Roggiano (Unter-Italien).
		F	22	36		
		e L	2	27		
27.	N	e F	2	35		Roggiano (Unter-Italien).
		F	3	5		
		e S	8	57	43	
28.	N	e S	8	59	6	Epizentraldistanz 2070 km.
		M	9	1		
		F	9	30		
30.	E	e F	11	14		Epizentraldistanz 2070 km.
		F	11	20		
		e L	4	50		
Juli 1.	E	e F	5	30		Epizentraldistanz 2070 km.
		F	22	14		
		M	22	16		
5.	N	e M	22	16		Epizentraldistanz 2070 km.
		F	22	28		
		i P	7	9	37	
6.	N	i S	7	13	6	Epizentraldistanz 2070 km.
		e L	7	15		
		M	7	16		
		F	7	55		Epizentraldistanz 2070 km.
		e P	16	36	42	
		e L	17	7		
6.	N	e F	18	40		Epizentraldistanz 2070 km.
		F	17	56	50	
		e P	17	57	0	
7.	N	e(S)	18	7	28	Epizentraldistanz 2070 km.
		e L	18	33		
		M ₁	18	41		
		M ₂	18	53		Epizentraldistanz 2070 km.
		C	19	30		
		F	14	20		
8.	N	e F	14	27		Epizentraldistanz 2070 km.
		F	22	28	46	
		e P	22	45	40	
8./9.	N	e L	23	5		Epizentraldistanz 2070 km.
		M	23	13		
		F	0	20		

— 42 —

Jahr 1913						
Datum	Komponente	Phase	Mittl. Greenw. Zeit			Bemerkungen
			h	m	s	
Juli 9.	N	eL	0	44		
		M	0	48		
		F	1	20		
12.	N	eL	10	47	31	
		M	11	10		
		F	11	17		
15.	N	eL	12	40		
		F	20	30		
20.	N	iP	20	57		
	N	iS	12	7	16	
	N	iS	12	7	55	
	N	iS	12	7	52	
	N	M	12	8		
	N	C	12	10	30	
	N	F	12	15		
	N	iP	12	7	15	
	N	iS	12	7	55	
	N	L	12	8	7	
	N	C	12	10	15	
21.	N	eL	12	13		
		F	22	38		
21.	N	eL	22	44		
		F	6	56		
		eL	7	30		
		M	7	45		
23.	N	eP	9			
		eL	18	52	26	
		M	19	34		
		F	19	48		
24.	N	eL	20	20		
		F	9	30		
25.	N	eL	9	50		
		F	12	53		
		eL	13	14		
		M	13	23		
		F	14	10		
26.	N	eP	20	56	20	
		eL	21	3		
		M	21	5	30	
		F	22			
28.	N	eP	5	55	50	
		iS	6	3	55	
		eL	6	21		
		M ₁	6	29		
		M ₂	6	34		
		F	8			
28.	N	eL	12	30		
		F	12	50		
31.	N	eL	20	4		
		F	20	5		
Aug. 1.	N	eL	9	20		
		M	9	36		
		F	10			

— 43 —

Jahr 1913						
Datum	Komponente	Phase	Mittl. Greenw. Zeit			Bemerkungen
			h	m	s	
Aug. 1.	N	iP	17	22	58	
		iS	17	32	50	
		eL	17	46		
		M	18	0		
		M ₁	17	52		
		C				
		F	20			
6.	N	eL	7	10		
		F	7	40		
6./7.	N	eP	22	28	24 ?	
	N	iP	22	28	20	
	N	iS	22	39	4	
	N	i	22	41	21	
	N	eL	22	56		
	N	M ₁	23	5		
	N	M ₂	23	12		
	N	M ₃	23	21		
	N	M ₄	23	25		
	N	C				
	N	eL	23	7		
	N	M ₁	23	9		
	N	M ₂	23	11		
	N	M ₃	23	13		
	N	F	2	10		
7.	N	eL	2	35		
		F	2	3		
		M	3	10		
		F	3	40		
13.	N	eP	4	40	45	
		eL	5	17		
		M	5	33		
		F	6			
15.	N	eL	19	20		
		eS	19	28		
		eL	19	53		
		M	20	1		
		F	20	50		
18.	N	eL	7	4		
		F	7	30		
19.	N	eL	5	40		
		F	5	45		
30./31.	E	eL	23	55		
		M	0	2		
		F	0	12		
		eL	1			
31.	N	eL	6	25		
		F	7	15		
		M	7	30		
		F	8			
31.	N	eL	17	32		
		M	18	10		
		F	18	26		
		eL	19	40		

— 46 —

Jahr 1913						
Datum	Komponente	Phase	Mittl. Greenw. Zeit			Bemerkungen
			h	m	s	
Okt. 14.	E	e F	7	20		Die übrigen Phasen fallen in die Unterbrechung.
14.	E	e L	11	7		
14.	E	e F	15	20		
14.	E	e L	16	50		
14.	E	e F	17	15		
23.	N	e L	22	30		Epizentraldistanz 7150 km.
23.	N	e F	12	27		
23.	N	e M	12	34		
23.	N	e F	12	40		
23.	N	e L	15	23	54	
25.	N	e F	15	38		Albancay (Peru).
25.	N	e L	16	10		
25.	N	e F	15	29		
25.	N	e L	15	40		
25.	N	e M	16	5		
26./27.	N	e P	23	12	50	Albancay (Peru).
26./27.	N	e S?	23	21	27	
26./27.	N	e L	23	30		
26./27.	N	e M	23	40		
26./27.	N	e F	0	20		
29.	N	e i	4	55	31	Albancay (Peru).
29.	N	e L	5	20		
29.	N	e M	5	30		
29.	N	e F	6	10		
29.	N	e F	3	35		
Nov. 4.	N	e F	3	47		Albancay (Peru).
Nov. 4.	N	e L	10	30		
Nov. 4.	N	e M	10	50		
Nov. 4.	N	e F	11	20		
Nov. 4.	N	e L	21	32	0	
10./11.	N	e i	21	35	9	Albancay (Peru).
10./11.	N	e L	22	15		
10./11.	N	e M	22	36		
10./11.	N	e F	22	52		
10./11.	N	e L	0	10		
15.	E	e L	6	36		Albancay (Peru).
15.	E	e F	7	30		
19.	E	e i	3	34		
19.	E	e L	3	45	08	
19.	E	e F	3	57		
21.	N	e M	4	31		Albancay (Peru).
21.	N	e F	5	20		
21.	N	e L	15	32		
21.	N	e M	15	37.5		
21.	N	e F	15	47		
21.	N	e L	16	14		Albancay (Peru).
21.	N	e M	16	19.5		
21.	N	e F	16	28		
21.	N	e L	16	28		
21.	N	e M	16	28		

— 47 —

Jahr 1913						
Datum	Komponente	Phase	Mittl. Greenw. Zeit			Bemerkungen
			h	m	s	
Nov. 23.	N	e P	21	29	51	Epizentraldistanz 8100 km.
Nov. 23.	N	e S	21	39	15	
Nov. 23.	N	e L	21	53		
Nov. 23.	N	e M	22	2		
Nov. 23.	N	e F	23	30		
30.	N	e F	17	51		Vom 25. Nov. bis 1. Dez. stärkere Bodenunruhe.
30.	N	e F	17	59		
Dez. 1.	N	e M	22	51		
Dez. 1.	N	e F	22	54		
Dez. 1.	N	e L	23	20		
2.	N	e F	22	20		Unregelmäßige Störungen.
2.	N	e F	23	30		
2.	N	e F	8	44		
2.	N	e F	9	15		
2.	N	e F	23	47		
3./4.	N	e F	0	30		4. bis 6. Dez. stärkere Bodenunruhe: regelmäßige Wellen und unregelmäßige Störungen.
3./4.	N	e F	14	31		
3./4.	N	e F	15	15		
3./4.	N	e F	15	27		
3./4.	N	e F	16	40		
9.	N	e M	0	40		14. Dez. starke unregelmäßige Bodenunruhe.
9.	N	e F	0	48		
9.	N	e F	1	2		
9.	N	e F	6	40		
9.	N	e F	18	25		
15.	N	e M	18	38		Fällt in das nächste Diagramm.
15.	N	e F	19	20		
15.	N	e L	15	47	48	
15.	N	e L	16	13		
15.	N	e L	16	19		
21.	N	e M	17	40		Fällt in die Unterbrechung.
21.	N	e F	17	45		
21.	N	e F	18	20		
21.	N	e F	7	6		
21.	N	e F	8	50		
25.	N	e M	12	50		27. Dez. starke unregelmäßige Bodenunruhe.
25.	N	e F	12	53		
25.	N	e F	12	53		
25.	N	e F	13	20		
25.	N	e F	10	18		
28.	N	e M	10	40		27. Dez. starke unregelmäßige Bodenunruhe.
28.	N	e F	11	40		
28.	N	e F	11	40		
28.	N	e F	11	40		
28.	N	e F	11	40		
29.	N	e M	11	40		27. Dez. starke unregelmäßige Bodenunruhe.
29.	N	e F	11	40		
29.	N	e F	11	40		
29.	N	e F	11	40		
29.	N	e F	11	40		

— 48 —

Jahr 1914						
Datum	Komponente	Phase	Mittl. Greenw. Zeit			Bemerkungen
			h	m	s	
Jan. 3.	N	e	8	10		1. und 2. Januar stärkere Bodenunruhe.
3.	N	F	8	15		
3.	N	e	19	12		
3.	N	F	19	50		5. Januar unregelmäßige Bodenunruhe.
3.	N	e	22	47	50	
3.	N	e	22	53		
7.	N	F	23	5		Vom 12. Januar bis 10. März unterbrochen.
7.	N	F	20	5		
7.	N	F	21			
8.	N	F	5	20		12. März zeitweiliges Auftreten von unregelmäßigen Wellen.
8.	N	F	5	30		
8.	N	F	5			
März 13.	N	e	5	23		Epizentraldistanz 8900 km.
13.	N	F	5	45		
13.	N	e	15	43	39	
13.	N	i	15	50	18	schwache seismische Wellen.
13.	N	S	17			
13.	N	F	17			
14.	N	i	20	12	11	15. bis 17. März Bodenunruhe.
14.	N	S	20	22	16	
14.	N	e	20	38		
15.	E	M	20	47		Epizentraldistanz 7780 km.
15.	E	F	23			
15.	E	F	15	50		
15.	E	F	16	45		fällt in das nächste Diagramm.
15.	E	F	21	7		
15.	E	F	21	42		
18.	N	i	4	31	42	Epizentraldistanz 7680 km.
18.	N	e	4	40	51	
18.	N	S	5	1		
18.	N	M	5	10		18. bis 19. März stärkere regelmäßige Bodenunruhe.
18.	N	F	6	29	0	
18.	N	e	6	38	4	
18.	N	S	6	59		Epizentraldistanz 11700 km
18.	N	M	7	8		
18.	N	F	9			
18.	N	F	11	10		Epizentraldistanz 9760 km.
18.	N	M	11	20		
18.	N	F	12			
18.	N	F	19	30		Epizentraldistanz 6230 km.
18.	N	e	19	41		
18.	N	M	20			
20/21.	N	F	23	12		Epizentraldistanz 9760 km.
20/21.	N	e	23	33		
20/21.	N	M	23	41		
21.	N	F	0	10		Epizentraldistanz 9760 km.
21.	N	F	20			
21.	N	F	20	45		
22.	N	F	1	40		Epizentraldistanz 9760 km.
22.	N	M	1	58		
22.	N	F	2	20		
24.	N	F	1	56		Epizentraldistanz 9760 km.
24.	N	F	2	40		
24.	N	F	21	5		
24.	N	F	22	10		26. und 27. März stärkere Bodenunruhe.

— 49 —

Jahr 1914						
Datum	Komponente	Phase	Mittl. Greenw. Zeit			Bemerkungen
			h	m	s	
März 27.	E	e	1	15	38	Epizentraldistanz 6230 km.
27.	E	L	1	39		
27.	E	M	1	47		
27.	N	F	2	40		Epizentraldistanz 9760 km.
27.	N	e	18	30		
27.	N	M	18	41		
28.	N	F	19	10		Epizentraldistanz 9760 km.
28.	N	i	11	4	17	
28.	N	P	11	12	5	
28.	N	e	11	20		Epizentraldistanz 9760 km.
28.	N	S	11	25		
28.	N	L	11			
28.	N	M	13			Epizentraldistanz 9760 km.
28.	N	F	13	45		
28.	N	e	13	51		
30.	N	M	14	10		Epizentraldistanz 9760 km.
30.	N	F	0	53	55	
30.	N	P	1	4	42	
30.	N	i	1	5	3	Epizentraldistanz 9760 km.
30.	N	S				
30.	N	F				
31.	N	e	1	22		Epizentraldistanz 9760 km.
31.	N	M	1	33		
31.	N	F	4	20		
31.	N	F	19	16		Epizentraldistanz 9760 km.
31.	N	F	19	53		
31.	N	F	19			
April 7.	N	e	19	21		Epizentraldistanz 9760 km.
7.	N	F	19			
7.	N	F	0	51		
8.	N	i	0	54	31	Epizentraldistanz 9760 km.
8.	N	S	1	6		
8.	N	M	1	18		
8.	N	F	22	42		Epizentraldistanz 9760 km.
8.	N	e	22	55		
8.	N	M	23	52		
9.	N	F	2	40		Epizentraldistanz 9760 km.
9.	N	F	3	10		
9.	N	F	3	56		
9.	N	e	4	50		Epizentraldistanz 9760 km.
9.	N	M	4	58		
9.	N	F	6	20		
11.	N	P	16	50	2	Epizentraldistanz 9760 km.
11.	N	e	17	2	11	
11.	N	S	17	25		
11.	N	M	17	57		Epizentraldistanz 9760 km.
11.	N	F	21			
11.	N	F	4	34		
13.	N	F	5	20		Epizentraldistanz 9760 km.
13.	N	F	3	50		
13.	N	F	4	9		
14.	N	e	4	13		Epizentraldistanz 9760 km.
14.	N	L	4			
14.	N	M	5			

Jahr 1914						
Datum	Komponente	Phase	Mittl. Greenw. Zeit			Bemerkungen
			h	m	s	
April 15.	N	e	4	13		
		M ₁	5	20		
		M ₂	5	54	22	2
		F	6	20	16	3
18.	N	e	5	16	55	
		M ₁	5	16	59	15
		M ₂	5	17	19	5
		F	5	18	10	
	N	i	5	16	5	
		eL?	5	16	48	
		M	5	17	1	0.5
		F	5	20		25
20.	N	iP	13	42	44	
		iS	13	53	25	12
		eL	14	12		33
	E	M	14	24		18
	N	F	17			16
21.	N	e	20	16	38	
		iM	20	16	39	0.4
		F	20	16	54	7
24.	N	e	9	13		
		M	9	20		15
		F	9	45		3
25.	N	e	18	32		
		M	18	35	14	2
		F	18	44		
28.	N	e	1	37		
		F	1	51		
28.	N	e				
		M	6	28	12	3
		F	6	40		
28.	N	e	12	13		
		M	12	23	18	4
		F	13			
29.	N	e	9	16		
		M	9	22	13	2
		F	9	43		
30.	N	e	10	57		
		M	11	1	12	2
		F	11	30		
30.	N	e	16			
		M	16	17	14	3
		F	16	40		
30.	N	e	19	16		
		M	19	35		3
		F	20	50		